

· 快递论文 ·

## 超声辅助合成新型二氢嘧啶-2(1H)-硫酮衍生物及其生物活性研究

周伟, 陈斯琴, 刘进兵\*

(邵阳学院 食品与化学工程学院, 湖南 邵阳 422000)

**摘要:** 以苯乙酮与取代苯甲醛(**1a~1e**)为起始原料, 在碱性条件下制得中间体查尔酮(**2a~2e**); 在超声辅助下, 合成了一系列硫代嘧啶酮类化合物(**3a~3e**), 其中**3a**、**3d**和**3e**为新化合物, 其结构经<sup>1</sup>H NMR, <sup>13</sup>C NMR, IR和MS(ESI)表征。研究了**3a~3e**对酪氨酸酶和α-葡萄糖苷酶的抑制活性及抗氧化活性。结果表明: 4-(2-甲氧基苯基)-6-苯基-3,4-二氢嘧啶-2(1H)-硫酮(**3b**)抑制酪氨酸酶活性最好, IC<sub>50</sub>为0.676 mmol·L<sup>-1</sup>, 与阳性对照曲酸相当。以**3b**为例进行了抑制酪氨酸酶动力学与分子对接研究。结果表明:**3b**为竞争型抑制剂, 苯环可能为其活性基团。

**关 键 词:** 超声辅助; 嘧啶硫酮; 合成; 抗氧化活性; 抑制酪氨酸酶活性; 抑制α-葡萄糖苷酶活性; 分子对接  
**中图分类号:** O626.415      **文献标志码:** A      **DOI:** 10.15952/j.cnki.cjsc.1005-1511.19222

## Ultrasound-assisted Synthesis and Biological Activities of Novel Dihydropyrimidine-2(1H)-thione Derivatives

ZHOU Wei, CHEN Si-qin, LIU Jin-bing\*

(School of Food and Chemical Engineering, Shaoyang University, Shaoyang 422000, China)

**Abstract:** Chalcones (**2a~2e**) were obtained from acetophenone and substituted benzaldehyde (**1a~1e**) under alkaline conditions. Then pyrimidine thione derivatives (**3a~3e**) were synthesized by ultrasound-assisted synthesis method from **2a~2e**. Among them, **3a**, **3d** and **3e** were novel compounds. The structures were characterized by <sup>1</sup>H NMR, <sup>13</sup>C NMR, IR and MS(ESI). Inhibitory tyrosinase activities, inhibitory alpha-glucosidase activities and antioxidant activities of **3a~3e** were investigated. The results showed that 4-(2-methoxyphenyl)-6-phenyl-3,4-dihydropyrimidine-2(1H)-thione (**3b**) exhibited best inhibition on mushroom tyrosinase with IC<sub>50</sub> of 0.676 mmol·L<sup>-1</sup>. The inhibitory kinetics and molecular docking were studied using **3b** as sample. Kinetic results showed that **3b** was a competitive inhibitor. Molecular docking results indicated that benzene ring might be an active group.

**Keywords:** ultrasound-assistance; pyrimidinone; synthesis; antioxidant activity; anti-tyrosinase activity; anti-alpha-glucosidase activity; molecular docking

酪氨酸酶是一种含铜离子的多酚氧化酶, 具有独特的双重催化功能<sup>[1~2]</sup>。人体黑色素的形成与酪氨酸酶有密切联系, 黑色素过多会导致多种

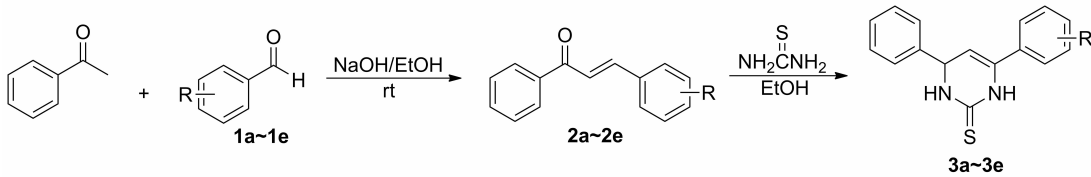
疾病, 如人体皮肤色素障碍性疾病、神经衰弱类疾病等。此外, 黑色素细胞异常与白癜风的形成也有很大关系<sup>[3~4]</sup>。酪氨酸酶抑制剂主要用于食品

收稿日期: 2019-05-30; 修订日期: 2019-07-05

基金项目: 湖南省教育厅重点项目(15A172); 邵阳学院研究生科研创新项目(CX2018SY048)

作者简介: 周伟(1994-), 男, 汉族, 湖南邵阳人, 硕士研究生, 主要从事食品质量与安全和有机合成的研究。

通信联系人: 刘进兵, 博士, 副教授, E-mail: syuliujb@163.com



Scheme 1

保鲜、医疗保健以及农业病虫防护等领域<sup>[5]</sup>。市售酪氨酸酶抑制剂存在实际疗效低、毒副作用严重等问题<sup>[6]</sup>。因此开发廉价高效低毒的酪氨酸酶抑制剂,成为化学合成工作者关注的焦点之一。

查尔酮具有广泛的生物活性,如抗糖尿病、抗逆转录病毒、抗炎、抗组胺、抑制和清除氧自由基、抗疟疾和抑制酪氨酸酶活性等<sup>[7~9]</sup>。嘧啶酮类化合物的生物活性也较显著,如抗病毒、抗菌、抗癌、抗高血压、抗氧化等<sup>[10]</sup>。Lam 等<sup>[11]</sup>合成了一系列硫酮衍生物,该类化合物对酪氨酸酶有强抑制效果,IC<sub>50</sub>为0.87~1.49 μmol·L<sup>-1</sup>。Robert 等<sup>[12~13]</sup>为改善康普瑞汀的水溶性,设计并合成了一系列多甲氧基硫代嘧啶酮,发现此类化合物对白血病细胞、黑色素瘤细胞,以及抗原生物均有良好的抑制活性。

本文在前期研究的基础上,以苯乙酮与取代苯甲醛(**1a~1e**)为起始原料,在碱性条件下制得中间体查尔酮(**2a~2e**);在超声辅助下,合成了一系列硫代嘧啶酮类化合物(**3a~3e**, Scheme 1),其中**3a**、**3d** 和 **3e** 为新化合物,其结构经<sup>1</sup>H NMR, <sup>13</sup>C NMR, IR 和 MS (ESI) 表征。研究了**3a~3e** 对酪氨酸酶和 α-葡萄糖苷酶的抑制活性及抗氧化活性。以**3b** 为例进行了抑制酪氨酸酶动力学与分子对接研究。

## 1 实验部分

### 1.1 仪器与试剂

WPX-4 型显微熔点仪;UV-1780 型紫外可见分光光度计;Bruker Ascend 400 MHz 型核磁共振仪(DCl<sub>3</sub>为溶剂,TMS 为内标);VECTOR 22 型红外光谱仪(KBr 压片);LCMS-2010 型质谱仪。

酪氨酸酶、α-葡萄糖苷酶、2,2'-联氮-双-3-乙基苯并噻唑啉-6-磺酸(ABTS), Sigma-Aldrich 公司;1,1-二苯基-2-三硝基苯肼(DPPH), Alfa Aesar 公司;其余所用试剂均为分析纯。

## 1.2 合成

### (1) **2a~2e** 的合成通法<sup>[14]</sup>

将苯乙酮 1.20 g (10 mmol) 和 **1a~1e** 10 mmol 溶于 15 mL 无水乙醇中,冰浴冷却,搅拌下缓慢滴加 10% NaOH 溶液 10 mL,滴毕,反应至终点(TLC 检测,展开剂:A = EA/PE = 1/4, V/V)。移入冰箱,静置,析出大量淡黄色固体,抽滤,滤饼用冷乙醇-水混合溶液洗涤,经 95% 乙醇重结晶,真空干燥得 **2a~2e**。

### (2) **3a~3e** 的合成通法<sup>[15]</sup>

在圆底烧瓶中加入 **2a~2e** 5 mmol 和硫脲 0.38 g (5 mmol),加入无水乙醇 30 mL 和氢氧化钠 0.5 g (12.5 mmol),于室温超声反应 20 min (TLC 检测,展开剂:A = 1/2)。蒸除部分溶剂,残余物用稀盐酸调至 pH = 7,移入冰箱,静置,析出固体,抽滤,固体用 95% 乙醇重结晶,真空干燥得 **3a~3e**。

**4,6-二苯基-3,4-二氢嘧啶-2(1H)-硫酮(3a):** 黄色固体 1.067 g, 收率 80.2%, m. p. 180~183 °C; <sup>1</sup>H NMR δ: 7.68 (s, 1H, NH), 7.47~7.36 (m, 10H, ArH), 6.81 (s, 1H, NH), 5.33 (d, J = 5.4 Hz, 1H, =CH), 5.23 (d, J = 5.4 Hz, 1H, CH); <sup>13</sup>C NMR δ: 174.3, 142.4, 134.0, 133.3, 129.6, 129.1, 129.0, 128.6, 127.0, 125.3, 100.8, 57.2; IR ν: 3174, 1643, 1565, 1483, 1187 cm<sup>-1</sup>; MS (ESI) m/z: 267 [M<sup>+</sup>]。

**4-(2-甲氧基苯基)-6-苯基-3,4-二氢嘧啶-2(1H)-硫酮(3b):** 淡黄色固体 1.054 g, 收率 71.2%, m. p. 192~194 °C; <sup>1</sup>H NMR δ: 7.55 (s, 1H, NH), 7.52~7.49 (m, 2H, ArH), 7.47~7.44 (m, 3H, ArH), 7.39~7.32 (m, 2H, ArH), 7.04 (t, J = 7.0 Hz, 1H, ArH), 6.96 (d, J = 7.0 Hz, 1H, ArH), 6.90 (s, 1H, NH), 5.69 (d, J = 5.7 Hz, 1H, =CH), 5.32 (t, J = 5.3 Hz, 1H, CH), 3.84 (s, 3H, OCH<sub>3</sub>); <sup>13</sup>C NMR δ: 175.3,

156.2, 135.1, 133.6, 129.7, 129.6, 129.5, 129.0, 127.6, 125.3, 121.2, 110.6, 99.0, 55.5, 50.9; IR  $\nu$ : 3149, 1556, 1482, 1186  $\text{cm}^{-1}$ ; MS(ESI)  $m/z$ : 297 [M $^+$ ]。

**4-(3-甲氧基苯基)-6-苯基-3,4-二氢嘧啶-2(1H)-硫酮(3c):** 淡黄色固体 0.980 g, 收率 66.2%, m.p. 191~194  $^\circ\text{C}$ ;  $^1\text{H}$  NMR  $\delta$ : 7.66(s, 1H, NH), 7.43~7.41(m, 5H, ArH), 7.37(t,  $J=7.4$  Hz, 1H, ArH), 6.99(d,  $J=7.0$  Hz, 1H, ArH), 6.92~6.89(m, 2H, ArH), 6.77(s, 1H, NH), 5.29(d,  $J=5.3$  Hz, 1H, =CH), 5.24(d,  $J=5.3$  Hz, 1H, CH), 3.84(s, 3H, OCH<sub>3</sub>);  $^{13}\text{C}$  NMR  $\delta$ : 160.2, 143.8, 134.0, 133.3, 130.3, 129.6, 129.0, 125.2, 119.1, 114.0, 112.6, 100.6, 57.2, 55.4; IR  $\nu$ : 3175, 1670, 1575, 1487, 1195  $\text{cm}^{-1}$ ; MS(ESI)  $m/z$ : 297 [M $^+$ ]。

**4-(2,4-二甲氧基苯基)-6-苯基-3,4-二氢嘧啶-2(1H)-硫酮(3d):** 淡黄色固体 0.835 g, 收率 51.1%, m.p. 165~168  $^\circ\text{C}$ ;  $^1\text{H}$  NMR  $\delta$ : 7.55(s, 1H, NH), 7.51~7.49(m, 2H, ArH), 7.47~7.43(m, 3H, ArH), 7.27(d,  $J=7.2$  Hz, 1H, ArH), 6.85(s, 1H, NH), 6.53(d,  $J=6.5$  Hz, 1H, ArH), 6.51(s, 1H, ArH), 5.61(d,  $J=5.6$  Hz, 1H, =CH), 5.28(d,  $J=5.6$  Hz, 1H, CH), 3.89(s, 3H, OCH<sub>3</sub>), 3.84(s, 3H, OCH<sub>3</sub>);  $^{13}\text{C}$  NMR  $\delta$ : 175.3, 156.2, 135.1, 133.6, 129.7, 129.6, 129.5, 129.0, 127.6, 125.3, 121.2, 110.6, 99.0, 55.5, 50.9; IR  $\nu$ : 1554, 1476, 1176  $\text{cm}^{-1}$ ; MS(ESI)  $m/z$ : 327 [M $^+$ ]。

**4-(3,5-二甲氧基苯基)-6-苯基-3,4-二氢嘧啶-2(1H)-硫酮(3e):** 类白色固体 0.820 g, 收率 50.2%, m.p. 220~223  $^\circ\text{C}$ ;  $^1\text{H}$  NMR  $\delta$ : 7.64(s, 1H, NH), 7.46~7.42(m, 5H, ArH), 6.72(s, 1H, NH), 6.53(d,  $J=6.5$  Hz, 1H, ArH), 6.46(t,  $J=6.5$  Hz, 1H, ArH), 5.25(d,  $J=5.6$  Hz, 1H, =CH), 5.22(d,  $J=5.6$  Hz, 1H, CH), 3.89(s, 3H, OCH<sub>3</sub>), 3.82(s, 6H, 2OCH<sub>3</sub>);  $^{13}\text{C}$  NMR  $\delta$ : 175.1, 161.4, 144.5, 134.1, 133.3, 129.6, 129.0, 125.2, 104.9, 100.5, 100.3, 57.3, 55.5; IR  $\nu$ : 3170, 1566, 1489, 1194  $\text{cm}^{-1}$ ; MS(ESI)  $m/z$ : 327 [M $^+$ ]。

### 1.3 生物活性测试

按文献<sup>[16~17]</sup>方法测定酪氨酸酶与  $\alpha$ -葡萄糖苷酶抑制活性。参考 Blois<sup>[18]</sup>方法测试 DPPH 清除活性, 参考 Pellegrini<sup>[19]</sup>方法测试 ABTS<sup>+</sup>清除活性。参考 Ismaya<sup>[20]</sup>方法, 以化合物 **3b** 为例, 采用 Discovery Studio 软件进行分子对接研究。

## 2 结果与讨论

### 2.1 合成

合成了一系列硫代嘧啶酮类衍生物, 其收率为 50.2%~80.2%。当苯环上无取代基时, 收率最高(**3a**, 80.2%)。当苯环 3-位和 5-位被甲氧基取代时, 收率最低(**3e**, 50.2%)。初步推测: 苯环上的取代基会降低底物的反应活性; 对于甲氧基取代, 邻位取代收率高于间位取代; 甲氧基数目增多, 收率降低。

### 2.2 酪氨酸酶抑制活性与 $\alpha$ -葡萄糖苷酶抑制活性

表 1 为化合物 **3a~3e** 对酪氨酸酶和  $\alpha$ -葡萄糖苷酶的抑制活性。由表 1 可见, 化合物 **3a** 与化合物 **3b** 具有一定的酪氨酸酶抑制活性, 其 IC<sub>50</sub> 分别为 1.097 mmol·L<sup>-1</sup> 和 0.676 mmol·L<sup>-1</sup>, 与阳性对照药曲酸接近。其余化合物的抑制活性均弱于曲酸, 说明 2-位甲氧基取代可能有利于提高抑制活性, 但甲氧基取代基位置和数目增加对抑制活性不利, 这可能与甲氧基的共轭效应与位阻效应有关。由表 1 还可见, 所有化合物均具有一定的抑制  $\alpha$ -葡萄糖苷酶活性, **3e** 的抑制活性最高(54.8%)。

表 1 **3a~3e** 对酪氨酸酶与  $\alpha$ -葡萄糖苷酶的抑制活性

Table 1 Tyrosinase and alpha glucosidase inhibitory activities of **3a~3e**

Comp	酪氨酸酶抑制活性 <sup>a</sup>	$\alpha$ -葡萄糖苷酶抑制活性 <sup>a</sup>
<b>3a</b>	79.82% <sup>b</sup> (IC <sub>50</sub> = 1.097 mmol·L <sup>-1</sup> )	35.47% <sup>b</sup>
<b>3b</b>	87.15% <sup>b</sup> (IC <sub>50</sub> = 0.676 mmol·L <sup>-1</sup> )	23.38% <sup>b</sup>
<b>3c</b>	56.24% <sup>b</sup>	7.31% <sup>b</sup>
<b>3d</b>	56.90% <sup>b</sup>	31.65% <sup>b</sup>
<b>3e</b>	46.28% <sup>b</sup>	54.80% <sup>b</sup>
曲酸	IC <sub>50</sub> = 0.625 mmol·L <sup>-1</sup>	-

<sup>a</sup>3 次试验平均值; <sup>b</sup>10 mmol·L<sup>-1</sup> 的抑制率。

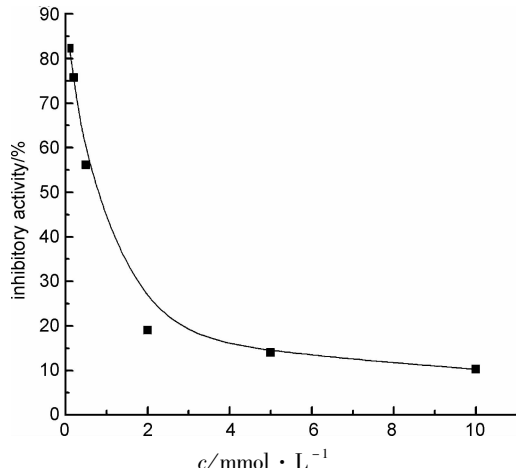


图 1 化合物 3b 对酪氨酸酶的抑制作用曲线

Figure 1 Inhibitory activity curve of 3b on tyrosinase

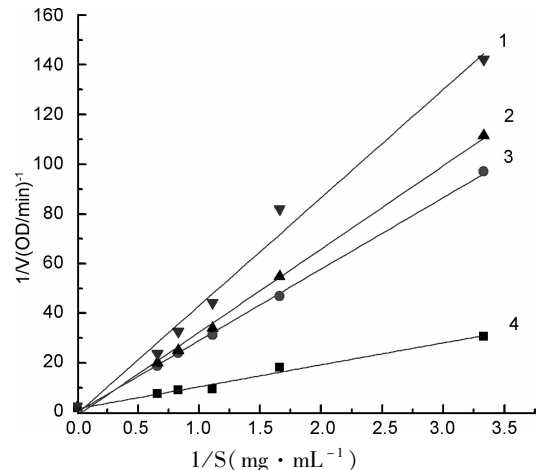


图 2 化合物 3b 对酪氨酸酶的抑制动力学曲线

Figure 2 Inhibitory kinetics curve of 3b on tyrosinase

图 1 为化合物 3b 对酪氨酸酶的抑制作用曲线。由图 1 可见, 随着 3b 浓度的增加, 酪氨酸酶的活性降低。

表 2 化合物 3a ~ 3e 的抗氧化活性

Table 2 Antioxidant activities of the 3a ~ 3e

Compounds	IC <sub>50</sub> /mmol · L <sup>-1</sup>	
	DPPH · 清除活性	ABTS <sup>+</sup> 清除活性
3a	15.20	0.58
3b	8.30	0.23
3c	12.03	0.46
3d	15.90	0.32
3e	10.24	0.68

### 2.3 抗氧化活性

表 2 为 3a ~ 3e 的抗氧化活性。由表 2 可见, 所有化合物均具有一定的 DPPH · 、ABTS<sup>+</sup> 清除

活性, 其中化合物 3b 的抗氧化活性最好, 说明抑制酪氨酸酶活性与抗氧化活性可能存在相关性。

### 2.4 抑制动力学

以 3b 为例, 研究了抑制动力学(图 2)。由图 2 可知, 化合物 3b 为竞争性抑制剂。

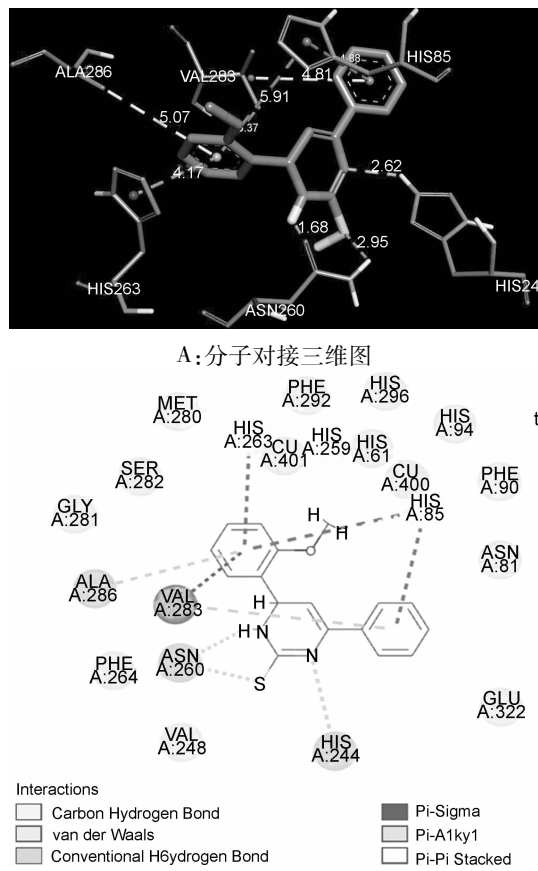


图 3 3b 与酪氨酸酶的对接模拟  
Figure 3 The docking simulation of tyrosinase and 3b

### 2.5 分子对接

化合物 3b 与 2Y9X 的自由结合能为 -28.01 Kcal · mol<sup>-1</sup>, 说明该化合物与酪氨酸酶有稳定的结合构象。图 3A 为化合物 3b 与 2Y9X 氨基酸残基的对接图, 由图 3A 可知, 苯环与 VAL(283)以  $\pi$  键方式结合, 其键长为 4.81 Å, 与氨基酸 HIS(263)以及 HIS(85)以  $\pi$ - $\pi$  键方式结合, 其键长分别为 4.17 Å 和 4.88 Å, 与 ALA(286)以及 VAL(283)形成烷基, 以  $\pi$  键方式结合, 其键长分别为 5.07 Å 和 3.37 Å; 苯环上的甲氧基与 HIS(259) HIS(85)以氢键方式结合, 其键长分别为 3.37 Å 和 5.91 Å; 噻唑环上的氮原子和硫原子与氨基酸 ASN 以及 HIS 形成氢键, 其键长分别为 2.95 Å、

1.68 Å 和 2.62 Å。图3B 为分子对接二维图。由图3B 可见,苯环与铜离子 401 和铜离子 400 之间存在作用力。由此可推测:来源于醛的苯环可能为该类化合物抑制酪氨酸酶活性的必需片段。

### 3 结论

以苯乙酮与取代苯甲醛为起始原料,在超声辅助下,合成了一系列硫代嘧啶酮类化合物(**3a~3e**)。研究了**3a~3e** 对酪氨酸酶和 $\alpha$ -葡萄糖苷酶的抑制活性及抗氧化活性。结果表明:4-(2-甲氧基苯基)-6-苯基-3,4-二氢嘧啶-2(1H)-硫酮(**3b**)抑制酪氨酸酶活性最好,IC<sub>50</sub> 为 0.676 mmol·L<sup>-1</sup>,与阳性对照曲酸相当。以**3b** 为例进行了抑制酪氨酸酶动力学与分子对接研究。结果表明:**3b** 为竞争型抑制剂,苯环可能为活性基团。

### 参考文献

- [1] FABIAN M, SONJA S, MARKUS G, et al. Mushroom tyrosinase-based enzyme inhibition assays are not suitable for bioactivity-guided fractionation of extracts[J]. J Nat Prod, 2019, **82**(1): 136–147.
- [2] ULLAH S, PARK Y J, PARK C, et al. Antioxidant, anti-tyrosinase and anti-melanogenic effects of (*E*)-2, 3-diphenylacrylic acid derivatives [J]. Bioorg Med Chem, 2019, **27**(11): 2192–2200.
- [3] WANG Y, XU L Y, LIU X, et al. Artopithecin A-D, prenylated 2-arylbenzofurans from the twigs of *Artocarpus pithogallus* and their tyrosinase inhibitory activities [J]. Chem Pharm Bull, 2018, **66**(12): 1199–1202.
- [4] NGUYEN H, NGUYEN N, NGUYEN M, Lee T, et al. Tyrosinase inhibitory activity of flavonoids from *Artocarpus heterophyllous* [J]. Chem Cent J, 2016, **10**(2): 1–6.
- [5] ZHANG L, ZHAO X, TAO G, et al. Investigating the inhibitory activity and mechanism differences between norartocarpetin and luteolin for tyrosinase A combinatorial kinetic study and computational simulation analysis [J]. Food Chem, 2017, **223**: 40–48.
- [6] GUERRERO A, ROSELL G. Biorational approaches for insect control by enzymatic inhibition [J]. Curr Med Chem, 2005, **12**(4): 461–469.
- [7] 刘进兵,唐君源. 卤代查尔酮氨基硫脲席夫碱的合成及生物活性研究[J]. 化学通报, 2017, **80**(01): 77–83.
- [8] CHU W C, BAI P Y, YANG Z Q, et al. Synthesis and antibacterial evaluation of novel cationic chalcone derivatives possessing broad spectrum antibacterial ac-
- itivity [J]. Eur J Med Chem, 2018, **143**: 905–921.
- [9] 杨争,米热古丽·买买提明,木合布力·阿布力孜,等. 卤代查尔酮类衍生物的合成及其抗宫颈癌活性 [J]. 合成化学, 2019, **27**(01): 50–55.
- [10] GUPTA R, CHAUDHARY R P. Efficient ionic liquid-catalysed synthesis and antimicrobial studies of 4,6-diaryl- and 4,5-fused pyrimidine-2-thiones [J]. J Chem Res, 2012, **36** (12): 718–721.
- [11] LAMK W, SYAHIDA A, ULHAO Z, et al. Synthesis and biological activity of oxadiazole and triazolo-thiadiazole derivatives as tyrosinase inhibitors [J]. Bioorg Med Chem Lett, 2010, **20**(12): 3755–3759.
- [12] LAUREN L, RYAN D, JENNA V, et al. 1,2,3,4-Tetrahydro-2-thioxopyrimidine analogs of combretastatin-A4 [J]. Eur J Med Chem, 2008, **43**: 2011–2015.
- [13] DEREJE D, ROBERT S, LAUREN L, et al. 1,2,3,4-Tetrahydro-2-thioxopyrimidine analogs of combretastatin-A4 [J]. Med Chem Res, 2011, **20**: 364–369.
- [14] LIU J B, CHEN C, WU F, et al. Microwave-assisted synthesis and tyrosinase inhibitory activity of chalcone derivatives [J]. Chem Biol Drug Des, 2013, **82**(1): 39–47.
- [15] JAVAD S G, MOHAMMAD A G. Ultrasound-assisted synthesis of dihydropyrimidine-2-thiones [J]. J Serb Chem Soc, 2011, **76** (5): 679–684.
- [16] LIU J B, YI W, WAN Y Q, et al. 1-(1-Arylethyldene)-thiosemicarbazide derivatives: A new class of tyrosinase inhibitors [J]. Bioorg Med Chem, 2008, **16**(3): 1096–1102.
- [17] WANG M Y, CHENG X C, CHEN X B, et al. Synthesis and biological evaluation of novel *N*-aryl- $\omega$ -(benzoazol-2-yl)-sulfanylalkanamides as dual inhibitors of  $\alpha$ -glucosidase and protein tyrosine phosphatase 1B [J]. Chem Biol Drug Des, 2018, **92**(3): 1647–1656.
- [18] BLOIS M S. Determination of antioxidant and antimicrobial activities of medically important mushrooms using different solvents and chemical composition via GC/MS analyses [J]. Nature, 1958, **181**: 1199–1200.
- [19] RE R, PELLEGRINI N, PROTEGGENTE A, et al. Antioxidant activity applying an improved ABTS radical cation decolorization assay [J]. Free Radical Bio Med, 1999, **26**(9,10): 1231–1237.
- [20] ISMAYA W T, ROZEBOOM H J, WEJIN A, et al. Crystal structure of agaricus bisporus mushroom tyrosinase: Identity of the tetramer subunits and interaction with tropolone [J]. Biochemistry, 2011, **50**(24): 5477–5486.